

# Die Korrektur der 2D-Topographie für B-Polarisation mittels der Methode der Randelemente(REM)

Shizhe Xu

Institute of Geology and Geophysics, Ocean University of Qingdao, China

Yuguo Li

Institut für Geophysik, Universität Göttingen, 37075 Göttingen, Germany

## 1 Einleitung

Der topographische Einfluß auf die Meßgrößen in der Magnetotellurik wird betrachtet. Durch die Arbeiten von Xu *et al.*(1985), Wannamaker *et al.*(1986) und Chouteau *et al.*(1988) zur 2D-Modellierung von Topographien wurde erkannt, daß der Topographie-Effekt bei der B-Polarisation sehr viel größer ist als bei der E-Polarisation. Deshalb beschränken wir unsere Betrachtung auf die B-Polarisation.

Zur 2D-Modellierung des Topographie-Effekts wird die Methode der Randelemente(REM) angewandt. Diese hat den Vorteil, daß nur der Rand der Topographie diskretisiert wird, daß die Gestalt der Topographie genau modelliert werden kann, und daß die Parametereingabe sehr einfach ist.

Die MT-Übertragungsfunktionen für einen homogen geschichteten Halbraum unterhalb der irregulären Topographie werden mit Hilfe der Methode der finiten Elemente(FEM) berechnet und mit den Ergebnissen von der REM korrigiert. Die Pseudosektionen der korrigierten Übertragungsfunktionen stellen grundlegend den Charakter des Response des homogen geschichteten Modells dar.

## 2 Die Methode der Randelemente(REM)

Abb. 1 zeigt eine zweidimensionale Topographie.  $\Gamma$  bedeutet die Linie der Topographie und  $\Gamma_\infty$  den Halbkreis mit unendlichem Radius im Untergrund.  $n$  sei der Außennormalvektor vom Bereich  $\Omega$ . Das folgende Koordinatensystem wird benutzt: Streichen der Topographie in  $x$ -Richtung, Topographieverlauf in der  $y-z$ -Ebene.

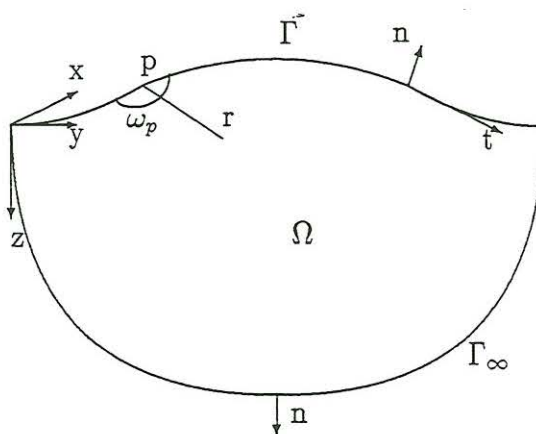


Abb. 1 Bereich und Rand

Unter der Verwendung des Zeitfaktors  $e^{-i\omega t}$  lautet die Induktionsgleichung

$$\nabla^2 u + k^2 u = 0. \quad \in \Omega \quad (1)$$

Dabei steht  $u$  für  $H_x$ ,  $k^2 = i\omega\mu\sigma$ . Hier sind  $\omega$ ,  $\mu$  und  $\sigma$  die Kreisfrequenz, die magnetische Permeabilität und die homogene elektrische Leitfähigkeit im Bereich  $\Omega$ . Bei  $B$ -Polarisation sind  $\frac{\partial u}{\partial y}$  und  $\frac{\partial u}{\partial z}$  oberhalb von  $\Gamma$  werden gleich Null zu setzen, und es gilt

$$u = 1 \quad \in \Gamma. \quad (2)$$

Weil das durch die Topographie verursachte anomale Feld auf  $\Gamma_\infty$  verschwindet, lautet dort das elektromagnetische Feld

$$u = e^{ikz} \quad \in \Gamma_\infty. \quad (3)$$

Die Induktionsgleichung (1) und die Randbedingungen (2) und (3) bilden das Randwertproblem für  $B$ -Polarisation. Dieses lösen wir mit der *REM*.

Mittels der Green'schen Formel

$$\int_{\Omega} (u \nabla^2 \phi - \phi \nabla^2 u) d\Omega = \oint_{\Gamma + \Gamma_\infty} (u \frac{\partial \phi}{\partial n} - \phi \frac{\partial u}{\partial n}) d\Gamma \quad (4)$$

kann das obige Randwertproblem in eine Integralgleichung umgewandelt werden. Hier ist  $\phi = -\frac{1}{4} N_0(kr)$  die fundamentale Lösung der Gleichung (1).  $N_0$  und  $r$  sind die Bessel'sche Funktion der Null-Ordnung der zweiten Art und der Abstand von einem bestimmten Punkt  $p$  bis zu einer beliebigen Stelle in  $\Omega$ .  $\phi$  erfüllt

$$\nabla^2 \phi + k^2 \phi = -\delta(p). \quad (5)$$

Dabei ist  $\delta(p)$  die Dirac-Funktion, deren Zentrum in  $p$  liegt.

Durch Einsetzen der Gl. (1) und (5) in Gl. (4) erhält man

$$\int_{\Gamma} \phi \frac{\partial u}{\partial n} d\Gamma = \frac{\omega_p}{2\pi} u_p + \int_{\Gamma} u \frac{\partial \phi}{\partial n} d\Gamma + \int_{\Gamma_\infty} (u \frac{\partial \phi}{\partial n} - \phi \frac{\partial u}{\partial n}) d\Gamma \quad (6)$$

Hier sind  $u_p$  und  $\omega_p$  der Wert von  $u$  im Punkt  $p$  und der Winkel, den der Bereich  $\Omega$  dort einschließt (vgl. Abb. 1).

Da  $u$ ,  $\frac{\partial \phi}{\partial n}$  auf  $\Gamma$  und  $u$ ,  $\frac{\partial u}{\partial n}$ ,  $\phi$ ,  $\frac{\partial \phi}{\partial n}$  auf  $\Gamma_\infty$  bekannt sind, ist die rechte Seite von Gl. (6) bestimmt und kann mit der Gauß'schen Integralformel berechnet werden. Deshalb wird die Gleichung (6) umgeschrieben in

$$\int_{\Gamma} \phi \frac{\partial u}{\partial n} d\Gamma = c_p \quad p \in \Gamma, \quad (7)$$

wobei

$$c_p = \frac{\omega_p}{2\pi} u_p + \int_{\Gamma} u \frac{\partial \phi}{\partial n} d\Gamma + \int_{\Gamma_\infty} (u \frac{\partial \phi}{\partial n} - \phi \frac{\partial u}{\partial n}) d\Gamma$$

ist.  $\Gamma$  wird durch  $n$  Knoten in  $n - 1$  Segmente zerlegt (Abb. 2). Dadurch wird das Integral der Gl. (7) umgeschrieben als Summe des Integrals von allen Elementen

$$\int_{\Gamma} \phi \frac{\partial u}{\partial n} d\Gamma = \sum_{\Gamma_e=1}^{n-1} \int_{\Gamma_e} \phi \frac{\partial u}{\partial n} d\Gamma = c_p. \quad (8)$$

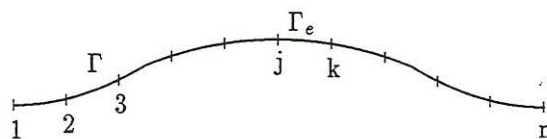


Abb. 2 Diskretisierung der Topographie

Wir nehmen an,  $\frac{\partial u}{\partial n}$  auf einem Element  $\Gamma_e$  variiert linear und läßt sich damit

$$\frac{\partial u}{\partial n} = N_j \left( \frac{\partial u}{\partial n} \right)_j + N_k \left( \frac{\partial u}{\partial n} \right)_k \quad (9)$$

approximieren. Hier sind  $\left( \frac{\partial u}{\partial n} \right)_j$  und  $\left( \frac{\partial u}{\partial n} \right)_k$  der Wert von  $\frac{\partial u}{\partial n}$  am Punkt  $j$  und  $k$ ,  $N_j$  und  $N_k$  die Formfunktion der linearen Interpolation.

Durch Einsetzen der Gl. (9) in (8) und nach der Integralberechnung mit Hilfe des Gauß'schen Verfahrens erhält man

$$\sum_{j=1}^n D_{pj} \left( \frac{\partial u}{\partial n} \right)_j = c_p. \quad (10)$$

Dabei sind  $D_{pj}$  die Koeffizienten, die mit der Verteilung der Knoten und  $N_0$  in Beziehung stehen. Für jeden Knoten erhält man eine solche Gleichung. Wir haben ein lineares Gleichungssystem für alle Knoten

$$\mathbf{D} \frac{\partial \mathbf{u}}{\partial \mathbf{n}} = \mathbf{C}. \quad (11)$$

Es ist  $\mathbf{D} = (D_{pj})$ ,  $\frac{\partial \mathbf{u}}{\partial \mathbf{n}} = \left[ \left( \frac{\partial u}{\partial n} \right)_j \right]^T$ ,  $\mathbf{C} = (C_p)^T$ ,  $j, p = 1, \dots, n$ .

Nach Lösen der Gl. (11) ist  $\frac{\partial u}{\partial n}$  auf der Topographielinie bestimmt. Durch Einsetzen der tangentialen Komponente des elektrischen Feldes  $E_t = -\frac{1}{\sigma} \frac{\partial u}{\partial n}$  in die Berechnungsformel der scheinbaren spezifischen Widerstände erhalten wir

$$\rho_a = \frac{1}{\omega \mu} \left| \frac{E_t}{H_x} \right|^2 = \frac{1}{\omega \mu_0 \sigma^2} \left| \frac{\partial u}{\partial n} \right|^2. \quad (12)$$

Da  $Z = \frac{E_t}{H_x} = -\frac{1}{\sigma} \frac{\partial u}{\partial n}$  die Impedanz auf  $\Gamma$  ist, haben wir als Formel für die Phase der Impedanz

$$\phi = \tan^{-1} \left[ \frac{\text{Im} \left( \frac{\partial u}{\partial n} \right)}{\text{Re} \left( \frac{\partial u}{\partial n} \right)} \right]. \quad (13)$$

In Abb. 3 werden die  $MT$ -Übertragungsfunktionen in ihrem Verhalten über den Bergkamm dargestellt. Dabei fällt auf, daß in  $\rho_a$  und in der Phase für die untere Hangkante und die Bergspitze entgegengesetzte Extremwerte existieren.

### 3 Die Korrektur der Topographie und ein Beispiel hierzu

Mit Hilfe eines Verzerrungsvektors kann der Einfluß der Topographie auf das induzierte elektromagnetische Feld korrigiert werden (Chouteal *et al.* 1988). Ähnlich wie in der Geoelektrik definieren wir die Korrektur mit der Formel

$$(\rho_a)_{cor} = \frac{(\rho_a)_{obs}}{\frac{(\rho_a)_{top}}{\rho_0}} \quad (14)$$

Hier bedeutet  $(\rho_a)_{obs}$  den durch Topographie und inhomogenem Körper im Untergrund verursachten scheinbaren spezifischen Widerstand,  $(\rho_a)_{top}$  den durch Topographie verursachten scheinbaren spezifischen Widerstand,  $(\rho_a)_{cor}$  den korrigierten scheinbaren spezifischen Widerstand und  $\rho_0$  den elektrischen Widerstand des homogenen Halbraumes.

Die Korrekturformel für die Phase der Impedanz ist leicht abzuleiten

$$\Phi_{cor} = \Phi_{obs} - \Phi_{top} + \frac{\pi}{4}. \quad (15)$$

Hier bedeutet  $\Phi_{obs}$  die durch Topographie und inhomogenen Körper verursachte Phase der Impedanz,  $\Phi_{top}$  die durch Topographie verursachte Phase und  $\Phi_{cor}$  die korrigierte Phase.



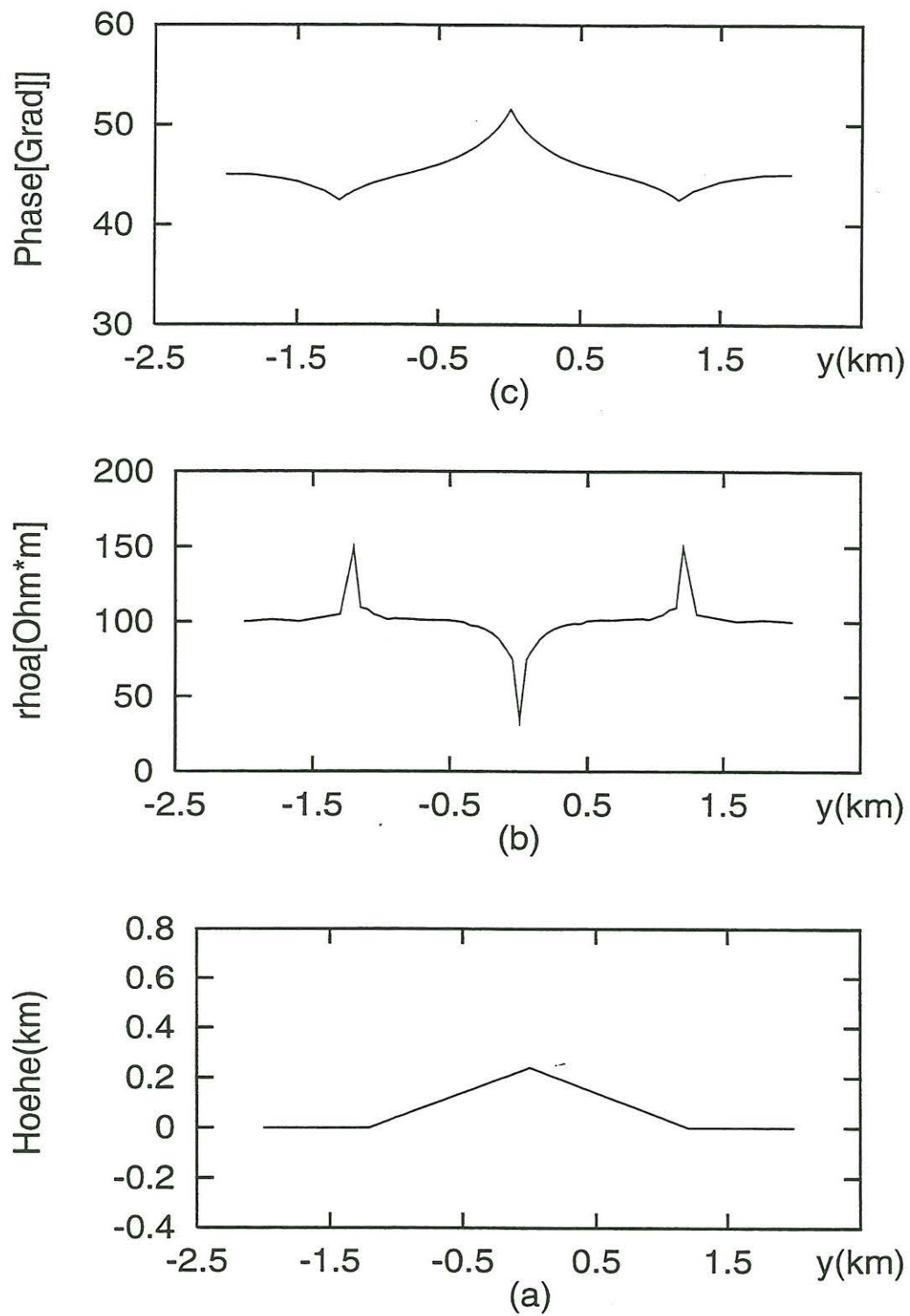


Abb. 3 2D-Darstellung der Übertragungsfunktion, die als Ergebnissen einer REM-Modellierung ( $\rho = 100 \Omega \cdot m$  bei der Frequenz  $100 \text{ Hz}$ )  
 (a) Topographieverlauf (b)  $\rho_a$  (c)  $\phi$

Das Verfahren zur Durchführung der Korrektur von *MT*-Daten lautet folgendermaßen:

- Berechnung der scheinbaren spezifischen Widerstände und der Phase für ein *2D*-Modell mit irregulärer Topographie mit der *FEM*;
- Berechnung der scheinbaren spezifischen Widerstände und der Phase für die Topographie mit der *REM*;
- Korrektur nach (15) und (16).

Die o.g. Schritte wiederholen sich, bis man die Daten für alle Frequenzen korrigiert hat. Bei der Bearbeitung von Felddaten entfällt der erste Schritt, da  $(\rho_a)_{obs}$  bereits vorliegen.

Wir geben das folgende Beispiel: Das Modell in Abb. 4(a) zeigt einen Graben, dessen Breite  $1200m$  beträgt. Darunter ist ein *1D*-Modell mit Dreischichten,  $\rho_1 = 100\Omega \cdot m$ ,  $\rho_2 = 2\Omega \cdot m$ ,  $\rho_3 = 100\Omega \cdot m$ . Abb. 4(b) ist die Pseudosektion des von der Topographie und dem geschichteten Medium erzeugten scheinbaren spezifischen Widerstandes. In Abb. 4(b) sieht man die Verzerrung durch die Topographie. Nach Anwendung der Korrektur wird die Verzerrung grundlegend entfernt. Die Isolinien des scheinbaren spezifischen Widerstandes (Abb. 4(c)) entsprechen denen des *1D*-Modells. Abb. 4(d), und 4(e) sind die Pseudosektionen der Phase.

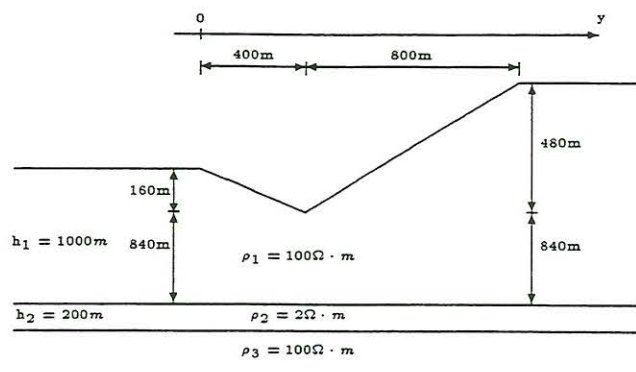
## 4 Zusammenfassung

- Mit Hilfe der *REM* läßt sich eine Korrektur der Topographie für die *B*-Polarisation durchführen;
- Durch die Topographiekorrektur wird die Verzerrung in dem scheinbaren spezifischen Widerstand und der Phase entfernt.
- Die Korrekturformeln für den scheinbaren spezifischen Widerstand und die Phase werden angegeben.

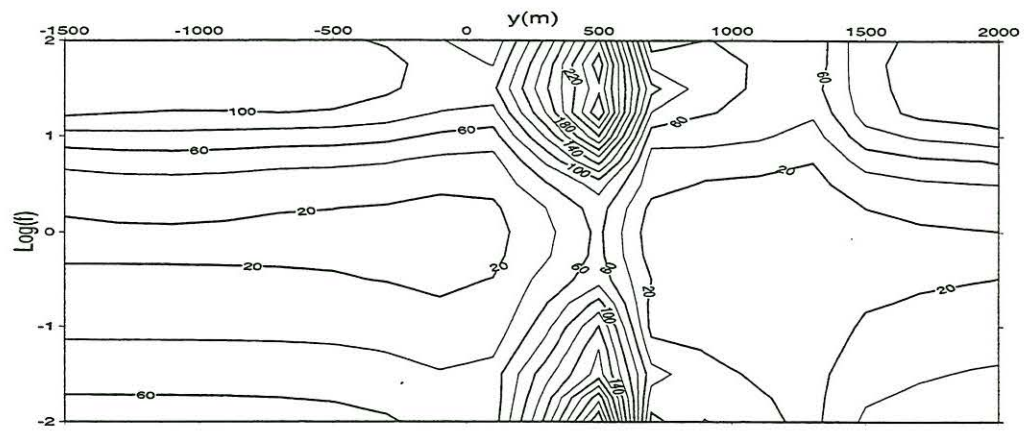
Wir danken Herrn Dr. J. Stoll und Prof. Dr. U. Schmucker für die Durchsicht des Manuskriptes.

## Literatur

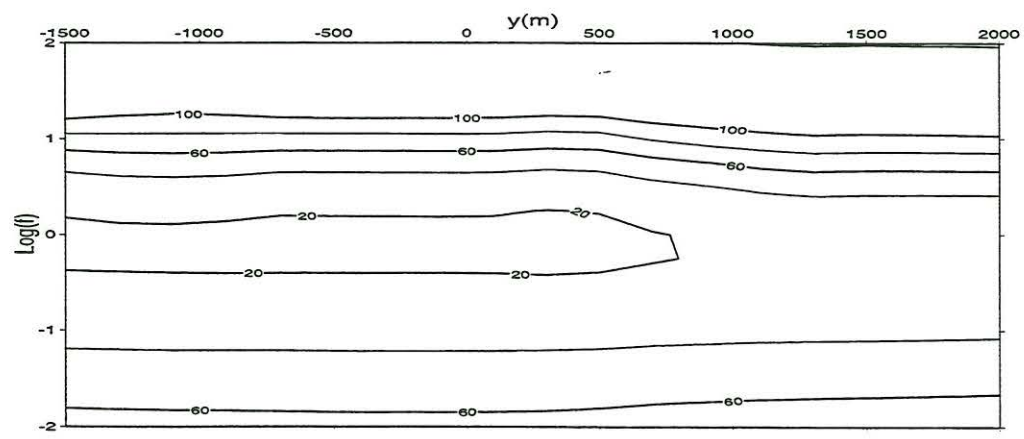
- [1] Chouteau, M. und Bouchard, K., 1988, *Two-dimensional terrain correction in magnetotelluric surveys*, *Geophysics*, 53(6), 854-862.
- [2] Wannamaker, P. E., Stodt, J. A. und Kijo, L., 1986, *Two-dimension topographical in magnetotellurics modeled using finite elements*, *geophysics*, 51(11), 2131-2144.
- [3] Xu, S. Z. und Zhao, S. K., 1985, *Topographie-Effekts in Magetotellurik* (in Chinesisch), *Nordwestliche Zeitschrift für Seismik*, 7(4), 157-167.
- [4] Xu, S. Z. und Zhao, S. K., 1987, *2-D magnetotelluric modeling by boundary element method*, *J. Geomag. Geoelectr.*, 39(11), 677-698.
- [5] Xu, S. Z., 1994, *The boundary element methode in Geophysics*, Beijing, Science Press (in Chinesisch).



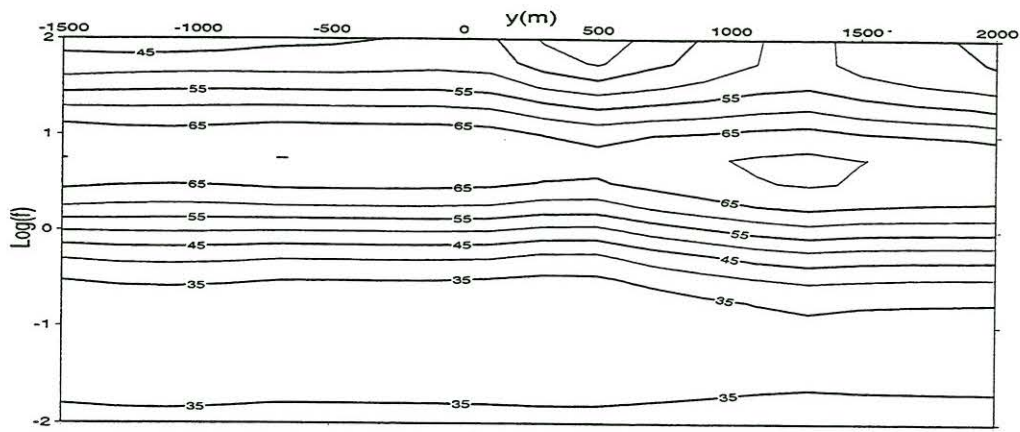
4(a) Topographieverläufe



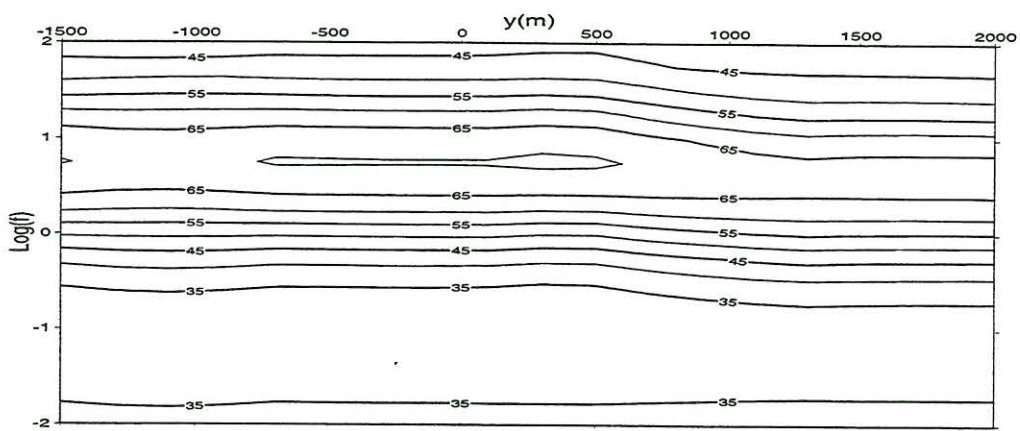
4(b)  $\rho_a$  ohne Korrektur



4(c) korrigierte  $\rho_a$



4(d) Phase ohne Korrektur



4(e) korrigierte Phase

Abb. 4 Pseudosektion der Übertragungsfunktionen